

周辺支持された厚肉円筒形シェルの3次元応力解析

——部分荷重をうける場合——

北海道大学工学部 正員 能町純雄
 室蘭工業大学 正員 松岡健一
 室蘭工業大学 学生員 ○後藤和博

1. まえがき

本解法は、肉厚を考慮に入れた場合の周辺ヒンジ支持された円筒形シェルに、*sine* 荷重及び部分分布荷重が作用した場合の変位と応力の解析を、非軸対称3次元応力問題として取扱い、円柱座標に関する有限フーリエ、ハンケル変換を用いて行なったものである。薄肉シェルの解法について、Timoshenko (Vlasov) や Flügge の変形法による解法では円筒殻の力のつりあい式から変位 U, V, W についての3元連立偏微分方程式を誘導し、 U, V, W を長手方向(母線方向)にフーリエ級数展開して変位及び各種応力を求める方法があるので、これらを比較検討の参考として計算を進めることができた。

2. 基礎方程式

座標軸を r, θ, z に選んだ円柱座標における弾性体のつりあい方程式は、 $\sigma_r, \sigma_\theta, \sigma_z$ をそれぞれ r, θ, z 方向の直応力度、 $T_{rr}, T_{\theta\theta}, T_{zz}$ をせん断応力度とすると、

$$\frac{\partial \sigma_r}{\partial r} + \frac{\sigma_r - \sigma_\theta}{r} + \frac{\partial T_{r\theta}}{r \partial \theta} + \frac{\partial T_{rz}}{\partial z} = K_r \quad (1)$$

$$\frac{\partial \sigma_\theta}{\partial r} + 2 \frac{T_{r\theta}}{r} + \frac{\partial \sigma_\theta}{r \partial \theta} + \frac{\partial T_{\theta z}}{\partial z} = K_\theta \quad (2)$$

$$\frac{\partial \sigma_z}{\partial r} + \frac{T_{rz}}{r} + \frac{\partial \sigma_z}{r \partial \theta} + \frac{\partial T_{rz}}{\partial z} = K_z \quad (3)$$

ここで K_r, K_θ, K_z は物体力の各方向成分である。また U, V, W を r, θ, z 方向の変位成分とし、 μ, λ を Lame の弾性定数とすれば、弾性問題における Hooke の法則は次の様になる。

$$\sigma_r = (2\mu + \lambda) \frac{\partial U}{\partial r} + \lambda \left(\frac{U}{r} + \frac{\partial V}{r \partial \theta} + \frac{\partial W}{\partial z} \right) \quad (4) \quad T_{r\theta} = \mu \left(\frac{\partial U}{\partial \theta} + \frac{\partial V}{\partial r} - \frac{V}{r} \right) \quad (7)$$

$$\sigma_\theta = (2\mu + \lambda) \left(\frac{U}{r} + \frac{\partial V}{r \partial \theta} \right) + \lambda \left(\frac{\partial U}{\partial r} + \frac{\partial W}{\partial z} \right) \quad (5) \quad T_{\theta z} = \mu \left(\frac{\partial V}{\partial z} + \frac{\partial W}{r \partial \theta} \right) \quad (8)$$

$$\sigma_z = (2\mu + \lambda) \frac{\partial W}{\partial z} + \lambda \left(\frac{\partial W}{\partial r} + \frac{U}{r} + \frac{\partial V}{r \partial \theta} \right) \quad (6) \quad T_{rz} = \mu \left(\frac{\partial V}{\partial z} + \frac{\partial W}{\partial r} \right) \quad (9)$$

3. 円柱座標における非軸対称3次元応力問題の解

基礎方程式の有限 Fourier-Hankel 変換による解法。

積分変換の核となる関数として $L_1 = X_1 \sin mo$, $L_2 = X_2 \cos mo$, $L_3 = X_3 \sin mo$ をそれぞれつりあい式(1)~(3)に対して選び、 θ に関して $(0, \phi)$ の間で有限 Fourier 変換を行ない、 r に関して (b_2, b_1) , z に関しては $(0, c)$ 間で X_1, X_2, X_3 を核とする積分変換を行なう。この時、Hooke の法則を考慮して応力を変位で表す。このようにして求められる $\mathcal{C}_m[u]$, $\mathcal{S}_m[u]$ に対して次の様におく。

$$\mathcal{S}_m[u] = A_{mrz} + B_{mrz} \quad , \quad \mathcal{C}_m[u] = A_{mrz} - B_{mrz}$$

$$\mathcal{S}_m[T_{rz}] = T_{mrz}^A + T_{mrz}^B \quad , \quad \mathcal{C}_m[T_{rz}] = T_{mrz}^A - T_{mrz}^B$$

$$\text{ここで } \mathcal{S}_m[f] = \int_0^\phi f \cdot \sin mo \, d\phi \quad , \quad \mathcal{C}_m[f] = \int_0^\phi f \cdot \cos mo \, d\phi$$

$$(m = \frac{M\pi}{\phi}, M = 0, 1, 2, \dots)$$

式(1)～(3)を積分変換して得られた式に、前述の関係を導入し、係数 X_1, X_2, X_3 を次のようにおいて
 $X_1 = r H_{k1}(\xi r) \cos NZ, \quad X_2 = r H_{k2}(\xi r) \cos NZ, \quad X_3 = r H_{k3}(\xi r) \sin NZ \quad (N = \frac{n\pi}{C}, \quad n=0, 1, 2, \dots)$
 r, ξ に関する有限 Fourier-Hankel 変換を行ない、最終的に 3 元連立方程式から 3 つの変位成分の有限 Fourier-Hankel 変換値 $H_{k1}[C_n[A_m r]], H_{k2}[C_n[B_m r]], H_{k3}[C_n[W_m r]]$ を求める。これら 3 つの変換値を逆変換することにより基礎方程式(1)～(3)の解を変位の形で求めることができる。周辺ヒンジ支持され、表面にせん断力のない場合の変位の式は次の式で表わされる。

4. 変位の一般式

半径方向変位 U 、円周方向変位 V 、および軸方向変位 W は

$$U = \frac{2}{\pi C} \sum_m \sum_n (A_{mn} + B_{mn}) \sin NZ \sin MA \quad (10)$$

$$V = \frac{2}{\pi C} \sum_m \sum_n (B_{mn} - A_{mn}) \sin NZ \cos MA \quad (11)$$

$$W = \frac{2}{\pi C} \sum_m \sum_n W_{mn} \cos NZ \sin MA \quad (12)$$

$$A_{mn} = \sum_{k=1}^{\infty} \frac{M+\lambda}{2M\lambda N} \left\{ X_{mp}^{(k)} - \frac{1}{2} U_{mp}^{(k)} \right\} \beta_{mnk} + \frac{1}{N} X_{ms}^{(k)} \left\{ \frac{3(M+1)}{2} A_{mnk} + \frac{(M-1)}{2} B_{mnk} \right\} - \frac{2M+\lambda}{2\lambda N} \left\{ X_{mp}^{(k)} - \frac{M+\lambda}{2M+\lambda} U_{mp}^{(k)} \right\} C_{mnk} \quad (13)$$

$$B_{mn} = \sum_{k=1}^{\infty} \frac{M+\lambda}{2M\lambda N} \left\{ X_{ms}^{(k)} - \frac{1}{2} W_{ms}^{(k)} \right\} \beta_{mnk} - \frac{1}{N} X_{mp}^{(k)} \left\{ \frac{(M+1)}{2} A_{mnk} + \frac{3(M-1)}{2} B_{mnk} \right\} - \frac{2M+\lambda}{2\lambda N} \left\{ X_{ms}^{(k)} - \frac{M+\lambda}{2M+\lambda} W_{ms}^{(k)} \right\} C_{mnk} \quad (14)$$

$$W_{mn} = \sum_{k=1}^{\infty} \frac{1}{\lambda N} \left\{ G_m^{(k)} + \frac{M+\lambda}{2M+\lambda} F_m^{(k)} \right\} \beta_{mnk} - \frac{1}{N} G_m^{(k)} \left\{ (M+1) A_{mnk} - (M-1) B_{mnk} \right\} - \frac{2M+\lambda}{\lambda N} \left\{ G_m^{(k)} + \frac{M+\lambda}{2M+\lambda} F_m^{(k)} \right\} C_{mnk} \quad (15)$$

$$\begin{aligned} \frac{\partial A_{mn}}{\partial r} &= \sum_{k=1}^{\infty} \frac{M+\lambda}{2M\lambda N} \left\{ -\frac{(M+1)}{r} X_{mp}^{(k)} + \frac{(M+1)}{2r} W_{mp}^{(k)} - \frac{N}{2} F_m^{(k)} \right\} \beta_{mnk} + \left\{ G_m^{(k)} - \frac{(M-1)}{Nr} X_{mp}^{(k)} \right\} \left\{ \frac{3(M+1)}{2} A_{mnk} + \frac{(M-1)}{2} B_{mnk} \right\} \\ &\quad - \frac{2M+\lambda}{2\lambda N} \left\{ -\frac{\lambda N}{2M+\lambda} G_m^{(k)} - \frac{(M+1)}{r} X_{mp}^{(k)} - \frac{M+\lambda}{2M+\lambda} \left(NF_m^{(k)} - \frac{(M+1)}{r} W_{mp}^{(k)} \right) \right\} C_{mnk} \end{aligned} \quad (16)$$

$$\begin{aligned} \frac{\partial B_{mn}}{\partial r} &= \sum_{k=1}^{\infty} \frac{M+\lambda}{2M\lambda N} \left\{ \frac{(M-1)}{r} X_{ms}^{(k)} - \frac{(M+1)}{2r} W_{ms}^{(k)} - \frac{N}{2} F_m^{(k)} \right\} \beta_{mnk} + \left\{ G_m^{(k)} + \frac{(M-1)}{Nr} X_{ms}^{(k)} \right\} \left\{ \frac{(M+1)}{2} A_{mnk} + \frac{3(M-1)}{2} B_{mnk} \right\} \\ &\quad - \frac{2M+\lambda}{2\lambda N} \left\{ -\frac{\lambda N}{2M+\lambda} G_m^{(k)} + \frac{(M-1)}{r} X_{ms}^{(k)} - \frac{M+\lambda}{2M+\lambda} \left(NF_m^{(k)} + \frac{(M-1)}{r} W_{ms}^{(k)} \right) \right\} C_{mnk} \end{aligned} \quad (17)$$

$$\begin{aligned} \frac{\partial W_{mn}}{\partial r} &= \sum_{k=1}^{\infty} \frac{1}{\lambda N} \left\{ N X_{mp}^{(k)} + \frac{M}{r} G_m^{(k)} + \frac{M+\lambda}{2M+\lambda} \left(N W_{mp}^{(k)} + \frac{M}{r} F_m^{(k)} \right) \right\} \beta_{mnk} - \left(X_{mp}^{(k)} + \frac{M}{Nr} G_m^{(k)} \right) \left\{ (M+1) A_{mnk} - (M-1) B_{mnk} \right\} \\ &\quad - \frac{2M+\lambda}{\lambda N} \left\{ N X_{ms}^{(k)} + \frac{M}{r} G_m^{(k)} + \frac{M+\lambda}{2M+\lambda} \left(N W_{ms}^{(k)} + \frac{M}{r} F_m^{(k)} \right) \right\} C_{mnk} \end{aligned} \quad (18)$$

上式中、 C はシエルの長さ、 $N = \frac{n\pi}{C}$ ($n=1, 2, \dots$)、 $M = \frac{m\pi}{\varphi}$ ($m=1, 2, \dots$) である。シエルの外径を b_1 、内径を b_2 とすれば(13)～(18)式中の関数は

$$X_{mp}^{(k)} = \frac{R_{m+k, m}(Nr)}{R_m^{(k)}(Nb_k)}, \quad X_{ms}^{(k)} = \frac{R_{m+k, m}(Nr)}{R_m^{(k)}(Nb_k)}, \quad G_m^{(k)} = \frac{R_m^{(k)}(Nr)}{R_m^{(k)}(Nb_k)}, \quad R_{ij}^{(k)}(Nr) = I_i(Nr) K_j(Nb_{k-1}) - (-1)^{i+j} I_j(Nb_{k-1}) K_i(Nr)$$

I は $I(Nr), K(Nr)$ は変形 Bessel 関数。

$$F_m^{(k)} = \frac{N}{\{R_m^{(k)}(Nb_k)\}^2} \left[R_m^{(k)}(Nb_k) \left\{ r R_{m+k, m}(Nr) - b_{k-1} R_{m+k, m}(Nr) \right\} - R_m^{(k)}(Nr) \left\{ b_k R_{m+k, m}(Nb_k) - b_{k-1} R_{m+k, m}(Nb_k) \right\} \right]$$

$$W_{mp}^{(k)} = \frac{N}{\{R_m^{(k)}(Nb_k)\}^2} \left[R_m^{(k)}(Nb_k) \left\{ r R_m^{(k)}(Nr) - b_{k-1} R_m^{(k)}(Nr) \right\} - R_{m+k, m}(Nr) \left\{ b_k R_{m+k, m}(Nb_k) - b_{k-1} R_{m+k, m}(Nb_k) \right\} \right]$$

$$W_{ms}^{(k)} = \frac{N}{\{R_m^{(k)}(Nb_k)\}^2} \left[R_m^{(k)}(Nb_k) \left\{ r R_m^{(k)}(Nr) - b_{k-1} R_m^{(k)}(Nr) \right\} - R_{m+k, m}(Nr) \left\{ b_k R_{m+k, m}(Nb_k) - b_{k-1} R_{m+k, m}(Nb_k) \right\} \right]$$

$B_{mnk}, A_{mnk}, C_{mnk}$ は境界の物理量で与えられる積分定数であり、境界条件を満足する様に決定される。

5. 応力成分の一般式

$$\sigma_r = \frac{2}{\pi C} \sum_m \sum_n \left\{ \lambda \Delta + 2\mu \left(\frac{\partial A_{mn}}{\partial r} + \frac{\partial B_{mn}}{\partial r} \right) \right\} \sin NZ \sin MA \quad (19)$$

$$\bar{\Theta} = \frac{2}{\pi C} \sum_m \sum_n \left[\lambda \Delta + 2\mu \left\{ (1-M) \frac{A_{mn}r}{r} + (1+M) \frac{B_{mn}r}{r} \right\} \right] \sin N\theta \sin M\alpha \quad (20)$$

$$\bar{\Xi} = \frac{2}{\pi C} \sum_m \sum_n \left\{ \lambda \Delta + 2\mu N \bar{W}_{mn} \right\} \sin N\theta \sin M\alpha \quad (21)$$

$$\bar{\Upsilon}_z = \frac{2}{\pi C} \sum_m \sum_n \mu \left\{ N(B_{mn} - A_{mn}) + \frac{M}{r} \bar{W}_{mn} \right\} \cos N\theta \cos M\alpha \quad (22)$$

$$\bar{\Upsilon}_r = \frac{2}{\pi C} \sum_m \sum_n \mu \left\{ N(A_{mn} + B_{mn}) + \frac{\partial \bar{W}_{mn}}{\partial r} \right\} \cos N\theta \sin M\alpha \quad (23)$$

$$\bar{\Upsilon}_{rz} = \frac{2}{\pi C} \sum_m \sum_n \mu \left\{ (1+M) \frac{A_{mn}r}{r} - (1-M) \frac{B_{mn}r}{r} + \left(\frac{\partial B_{mn}}{\partial r} - \frac{\partial A_{mn}}{\partial r} \right) \right\} \sin N\theta \cos M\alpha \quad (24)$$

$$EE \quad \Delta = \sum_{k=1}^2 \left\{ \frac{1}{\lambda} G_m^{(k)} B_{mnk} - \frac{2\mu}{\lambda} G_m^{(k)} C_{mnk} \right\} \quad (25)$$

6. 境界条件

(10)~(12)式および(19)~(25)式は、すでに $Z=0$ および $Z=C$, $\theta=0$ および $\theta=\varphi$ における条件を満足しているので、ここでは $r=b_1$ および $r=b_2$ における境界条件のみを考慮すればよい。従って、シエルの表面においては $r=b_k$ ($k=1, 2$) で $\bar{\Upsilon}_{rz} = 0$ $\quad (26)$

$$\bar{\Upsilon}_r = 0 \quad (27)$$

$$\bar{\Upsilon}_r = P_k(\theta, Z) \quad (28)$$

$P_k(\theta, Z)$ は円筒表面に作用する外力であるが式(26)はすでに満足しており、式(28)から

$$B_{mnk} = \int_0^{2\pi} \int_0^C P_k(\theta, Z) \cos M\alpha \cos N\theta d\theta dZ \quad (29)$$

また、式の説明過程から

$$A_{mnk}|_{r=b_k} = b_k A_{mnk} \quad (30), \quad B_{mnk}|_{r=b_k} = b_k B_{mnk} \quad (31)$$

従って、式(27)および式(30), (31)から積分定数 A_{mnk} , B_{mnk} , C_{mnk} を決定する。

7. 数値計算例

解析の対象と

して、 $\nu=0.15$

$\mu=0.4347826E$

$\lambda=0.0931677E$

内径を b_1 と

して厚さ t が

0.01, 0.05,

0.1, 0.2,

0.5 の 5 種類、

シエルの長さ

C も $\frac{\pi b_1}{4}$, $\frac{\pi b_1}{2}$,

π の場合の計

算を行なった。

作用させた外力は円

筒面の両面に、 θ 方向

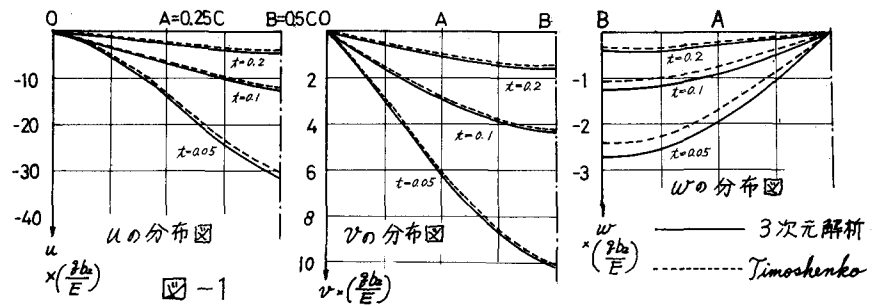
$K \sin \theta$ 分布、 Z 方向

に部分分布で円筒中央

に向う力である。

t	u			v			w		
	3-dimen	Timosh	Flügg	3-dimen	Timosh	Flügg	3-dimen	Timosh	Flügg
0.01	A	-61.65	0.95	0.95	32.64	0.96	0.96	-10.61	0.87
	B	-194.2	0.95	0.95	54.62	0.97	0.97	-14.61	0.89
0.05	A	-13.36	0.95	0.95	6.371	0.97	0.97	-1.98	0.87
	B	-31.99	0.94	0.94	10.11	0.96	0.97	-2.76	0.89
0.10	A	-6.86	0.95	0.96	2.91	0.96	0.97	-0.86	0.88
	B	-13.12	0.93	0.94	4.40	0.96	0.97	-1.22	0.87
0.20	A	-2.76	0.94	0.97	1.08	0.95	0.98	-0.298	0.88
	B	-4.62	0.90	0.93	1.58	0.95	0.97	-0.426	0.93
0.50	A	-0.53	0.80	0.83	0.1926	0.83	0.88	-0.055	0.69
	B	-0.86	0.74	0.77	0.2818	0.82	0.87	-0.0608	0.88

表-1 3次元解析, Timoshenko, Flügge理論による変位の比較, $C=\frac{\pi}{2}$, $C_0=\frac{1}{10}C$
(Timoshenko, Flüggeの値は3次元解析値の比で表わす)



		σ_x		
t	r	3-dimen	Timosh	Flügge
0.05	b_1	-2.212	0.78	0.78
	b_2	1.821	0.74	0.75
0.10	b_1	-1.193	0.58	0.58
	b_2	1.030	0.54	0.55
0.20	b_1	-0.761	0.33	0.34
	b_2	0.715	0.31	0.31
0.50	b_1	-0.478	0.09	0.10
	b_2	0.556	0.08	0.08

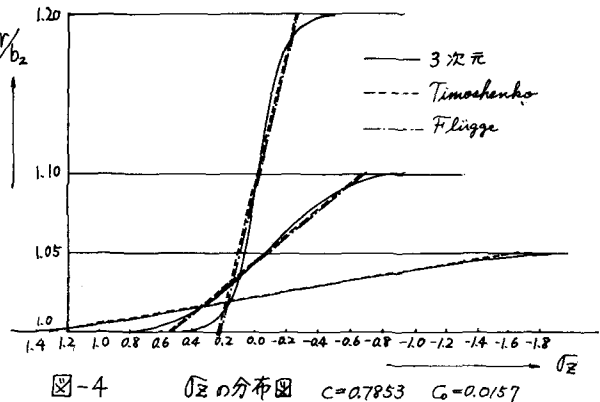
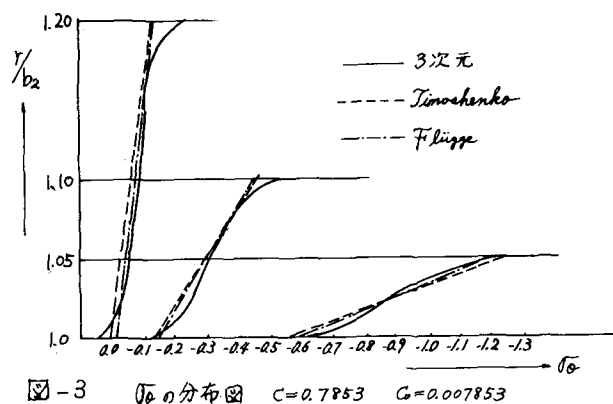
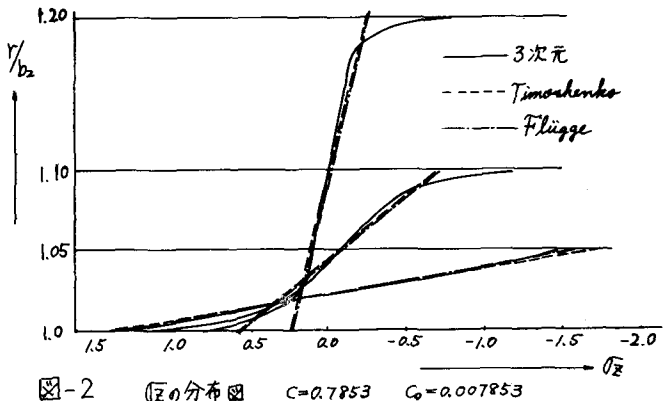
		σ_y		
t	r	3-dimen	Timosh	Flügge
0.05	b_1	-12.34	0.99	0.98
	b_2	-0.6023	0.91	0.94
0.10	b_1	-0.5236	0.88	0.86
	b_2	-0.1141	1.15	1.25
0.20	b_1	-0.2302	0.59	0.57
	b_2	0.0464	0.09	0.161
0.50	b_1	-0.1161	0.15	0.13
	b_2	0.0756	0.08	0.08

表-2. 3次元解析、Timoshenko理論
Flügge理論による応力の比較。

(Timoshenko理論、Flügge理論の値は
3次元解析値との比で表わす)
ただし、 $C = 0.7853$, $C_0 = 0.007853$

表-1 および図-1に各変位成分について3次元解析の値と Timoshenko理論、Flügge理論値との比較を示した。3次元解析値は断面の中央の値である。すべての変位とも Timoshenko理論と Flügge理論とはほとんど一致しており、厚さの薄い場合には3次元解析値とも近いが、厚くなると多少差がでてくる。この計算例では、厚さが0.2位まではあまり差はない。特に u , v は差がわざかである。Timoshenko理論、Flügge理論の比較では若干ではあるが、 u , v については Flügge理論が、 w については Timoshenko理論が3次元解析値に近いようである。表-2 および図-2～図-7には、Y方向のスパン C 、載荷中 C_0 、肉厚を変えた場合の σ_x , σ_y の載荷中心における値の最大、最小およびY方向の分布を示した。

σ_K については、 C が $\pi/4$ の場合(表-2)で、厚さが 0.05, 0.10 の場合までには3次元解析値と Timoshenko理論値、Flügge理論値はほぼ近いのであるが、厚さが 0.2, 0.5 と増すにつれて3次元解析による円筒両表面の応力値はS字カーブを描いて大きくなるので、両表面における3次元解析値と Timoshenko理論値、Flügge理論値との間には大きな差がでてくる。しかし、断面の中心近くの応力についてはほとんど一致した値を



示している。 $\bar{\sigma}_0$ は \bar{r}_0 に比べて 3 次元解析値の S 字カーブが著しいので、Timoshenko 理論値、Flügge 理論値と比較した値は、両理論値とも厚さが 0.2 の場合で 3 次元解析値と比較して約 0.3、厚さが 0.5 となると 0.08～0.1 の割合に相違が大きくなっている。

このように差が大きいのは、応力の絶対値が小さいためもある。しかし、スパン C が 3.1415 のように長くなってくると、薄肉シエルの挙動を示すようになるので応力値は、厚さが 0.2、0.5 の場合でも Timoshenko 理論、Flügge 理論の両理論値とも 3 次元解析値に近い値を示すようになる。また、荷重載荷巾が大きくなるにつれて、3 次元解析値も直線性を保たれるようになる。応力の場合も Timoshenko 理論、Flügge 理論はほぼ近い値を与えるが、全体として Flügge 理論の方が Timoshenko 理論に比べて 3 次元解析値に近いようである。

* 参考文献

- 1) Sumio G. Nomachi ; On One Method of Solving Stress Problems in Cylindrical Co-ordinates by Means of Finite Fourier Hankel Transforms. Mem of Muroran Institute of Tech. vol.3, No.3, No.4 (1960, 1961)
- 2) 能町純雄、松岡健一；円筒座標に関する非軸対称 3 次元応力解析について。オ 27 回全国大会 (1972)
- 3) 松岡健一、能町純雄；無限体中の円孔に部分分布荷重が作用するときの 3 次元応力解析。土木学会論文報告集第 229 号 (1974)
- 4) K.G. Matsuoka, S.G. Nomachi ; On a 3-dimensional Stress Analysis of an Annular Cylindrical Body By Means of Fourier-Hankel Transforms. Proceeding of the 22nd Japan National Congress for Applied Mechanics (1972)
- 5) S.G. Nomachi, K.G. Matsuoka ; On a 3-dimensional Stress Analysis of an Annular Cylindrical Body Subjected to Non-axisymmetrical Loading. Mem of the Muroran Institute of Tech. vol.8, No.1 (1973)
- 6) 能町純雄、松岡健一；無限体中の円孔に円形載荷されたときの 3 次元応力解析。土木学会北海道支部論文報告集 (1974) 付 308
- 7) Timoshenko ; Theory of Plates and Shells. Theory of Elastic Stability. McGraw-hill
- 8) Flügge ; Stresses in Shell By Wilhelm Flügge. Springer-Verlag (1960)
- 9) 坪井善勝；曲面構造、シエルの理論とその応用。丸善 (1965)

